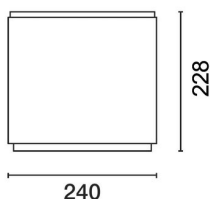


Ultimo aggiornamento delle informazioni: Marzo 2019



Plafone luce generale completo di cablaggio elettronico

Attenzione! Codice fuori produzione

Codice prodotto

5487

Descrizione tecnica

Apparecchio per applicazione a soffitto, finalizzato all'impiego di sorgenti fluorescenti compatte 2x26W TC-T EL, alimentate con cablaggio elettronico. Ottica elaborata per illuminazione a luminanza controllata, idonea per ambienti con uso di videoterminali - L = 1000 cd/m² per angoli a >65°. Piastra porta componenti in alluminio pressofuso, riflettore in alluminio superpuro, corpo cilindrico in alluminio sagomato in tornitura, cornice inferiore in policarbonato ad alta resistenza. Finitura superficiale a verniciatura liquida.

Installazione

Fissaggio della piastra a soffitto con viti e tasselli ad espansione; operazioni di installazione e manutenzione semplificate da sistemi di assemblaggio a baionetta. Possibilità di applicazione a parete e a sospensione utilizzando appositi kit accessori con codifica separata.

Dimensione (mm)

Ø240x228

Colore

Bianco (01) | Grigio (15)

Peso (Kg)

2.02

Montaggio

a soffitto

Cablaggio

Reattore elettronico integrato nell'apparecchio. Allacciamento alla rete tramite morsettieria ad innesto rapido.

Note

Per l'applicazione sospesa utilizzare il kit con cavo a 3 poli cod. 9440

Soddista EN60598-1 e relative note



Configurazione di prodotto: 5487+L129

L129: Fluorescente compatta DULUX T/E 26W /840 PLUS GX24q-3 (Osram)

Caratteristiche del prodotto

Flusso totale emesso [Lm]: 1941
Potenza totale [W]: 56
Efficienza luminosa [Lm/W]: 34.7
Numero di vani: 1

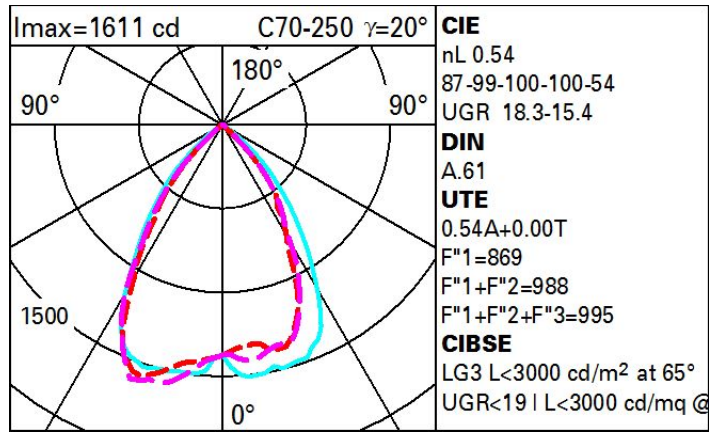
Flusso totale disperso verso l'alto [Lm]: 0
Flusso in emergenza [Lm]: /
Tensione [V]: 230

Caratteristiche del vano Tipo 1

Rendimento [%]: 54
Codice lampada: L129
Codice ZVEI: TC-TEL
Potenza nominale [W]: 26
Flusso nominale [Lm]: 1800
Intensità massima [cd]: /
Angolo di apertura [°]: /

Numero di lampade per vano: 2
Attacco: GX24q-3
Perdite del trasformatore [W]: 4
Temperatura colore [K]: 4000
IRC: 89
Lunghezza d'onda [Nm]: /
Step MacAdam: /

Polare



Coefficienti di utilizzazione

| R | 77 | 75 | 73 | 71 | 55 | 53 | 33 | 00 | DRR |
|------|----|----|----|----|----|----|----|----|-----|
| K0.8 | 45 | 42 | 40 | 38 | 42 | 39 | 39 | 37 | 69 |
| 1.0 | 48 | 45 | 43 | 41 | 45 | 43 | 42 | 40 | 74 |
| 1.5 | 52 | 49 | 48 | 46 | 49 | 47 | 47 | 45 | 83 |
| 2.0 | 54 | 52 | 51 | 49 | 51 | 50 | 49 | 48 | 88 |
| 2.5 | 55 | 53 | 52 | 51 | 53 | 52 | 51 | 49 | 91 |
| 3.0 | 56 | 55 | 54 | 53 | 54 | 53 | 52 | 51 | 94 |
| 4.0 | 56 | 56 | 55 | 54 | 55 | 54 | 53 | 52 | 96 |
| 5.0 | 57 | 56 | 56 | 55 | 55 | 55 | 54 | 52 | 97 |

Curva limite di luminanza

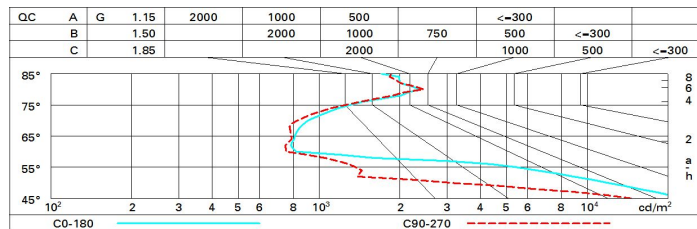


Diagramma UGR

| Corrected UGR values (at 3000 lm bare lamp luminous flux) | | | | | | | | | | | |
|---|------|------------------|------|------------|------|------|----------------|------|------|------|------|
| Reflect.: | | 0.70 | 0.70 | 0.50 | 0.50 | 0.30 | 0.70 | 0.70 | 0.50 | 0.50 | 0.30 |
| ceiling/cav | | 0.70 | 0.70 | 0.50 | 0.50 | 0.30 | 0.70 | 0.70 | 0.50 | 0.50 | 0.30 |
| walls | | 0.50 | 0.30 | 0.50 | 0.30 | 0.30 | 0.50 | 0.30 | 0.50 | 0.30 | 0.30 |
| work pl. | | 0.20 | 0.20 | 0.20 | 0.20 | 0.20 | 0.20 | 0.20 | 0.20 | 0.20 | 0.20 |
| Room dim | | viewed crosswise | | | | | viewed endwise | | | | |
| x | y | | | | | | | | | | |
| 2H | 2H | 18.7 | 19.4 | 19.0 | 19.6 | 19.9 | 15.8 | 16.5 | 16.0 | 16.7 | 17.0 |
| | 3H | 18.6 | 19.2 | 18.9 | 19.5 | 19.8 | 15.7 | 16.3 | 16.0 | 16.6 | 16.8 |
| | 4H | 18.5 | 19.1 | 18.8 | 19.4 | 19.7 | 15.6 | 16.2 | 15.9 | 16.5 | 16.8 |
| | 6H | 18.5 | 19.0 | 18.8 | 19.3 | 19.7 | 15.5 | 16.1 | 15.9 | 16.4 | 16.7 |
| | 8H | 18.5 | 19.0 | 18.8 | 19.3 | 19.7 | 15.5 | 16.0 | 15.8 | 16.3 | 16.7 |
| | 12H | 18.4 | 19.0 | 18.8 | 19.3 | 19.7 | 15.4 | 15.9 | 15.8 | 16.3 | 16.6 |
| 4H | 2H | 18.5 | 19.1 | 18.8 | 19.4 | 19.7 | 15.6 | 16.2 | 16.0 | 16.5 | 16.8 |
| | 3H | 18.3 | 18.9 | 18.7 | 19.2 | 19.5 | 15.5 | 16.0 | 15.9 | 16.4 | 16.7 |
| | 4H | 18.3 | 18.7 | 18.7 | 19.1 | 19.5 | 15.5 | 15.9 | 15.9 | 16.3 | 16.7 |
| | 6H | 18.3 | 18.7 | 18.7 | 19.1 | 19.5 | 15.4 | 15.8 | 15.8 | 16.2 | 16.6 |
| | 8H | 18.3 | 18.7 | 18.8 | 19.1 | 19.5 | 15.4 | 15.8 | 15.8 | 16.2 | 16.6 |
| | 12H | 18.3 | 18.6 | 18.8 | 19.1 | 19.5 | 15.4 | 15.7 | 15.8 | 16.1 | 16.6 |
| 8H | 4H | 18.2 | 18.5 | 18.6 | 19.0 | 19.4 | 15.6 | 16.0 | 16.1 | 16.4 | 16.8 |
| | 6H | 18.2 | 18.5 | 18.7 | 19.0 | 19.5 | 15.7 | 16.0 | 16.1 | 16.4 | 16.9 |
| | 8H | 18.3 | 18.5 | 18.8 | 19.0 | 19.5 | 15.7 | 15.9 | 16.2 | 16.4 | 16.9 |
| | 12H | 18.3 | 18.5 | 18.8 | 19.0 | 19.5 | 15.7 | 15.9 | 16.2 | 16.4 | 16.9 |
| 12H | 4H | 18.1 | 18.5 | 18.6 | 18.9 | 19.4 | 15.6 | 16.0 | 16.1 | 16.4 | 16.9 |
| | 6H | 18.2 | 18.5 | 18.7 | 18.9 | 19.4 | 15.7 | 15.9 | 16.2 | 16.4 | 16.9 |
| | 8H | 18.3 | 18.5 | 18.8 | 19.0 | 19.5 | 15.7 | 15.9 | 16.2 | 16.4 | 16.9 |
| Variations with the observer position at spacing: | | | | | | | | | | | |
| S = | 1.0H | 2.2 / -5.6 | | 3.3 / -5.2 | | | | | | | |
| | 1.5H | 4.9 / -7.5 | | 4.7 / -5.4 | | | | | | | |
| | 2.0H | 6.8 / -7.6 | | 6.5 / -5.5 | | | | | | | |